التحليل الكرونوأمبيرومتري للكادميوم (II) في بعض عينات الخضار باستخدام مسرى الكربون المُعدّل بمادة PEDOT:PSS

أحمد أبو حجر *، أحمد حلبي **

* قسم الكيمياء التحليلية والغذائية، كلية الصيدلة، جامعة إدلب

** طالب دراسات عليا (دكتوراه)

الملخص

تم تحديد شوارد الكادميوم (II) في بعض عينات الخضار بالطرائق الكهركيميائية باستخدام مسرى الكربون المعدّل بمادة PEDOT:PSS حيث تميز هذا المسرى بأنه ذو انتقائية وحساسية عالية لشوارد الكادميوم (II) بالإضافة إلى تكلفتها وسميّتها المنخفضة. أظهرت المنحنيات الفولط أمبير ومتربة الحلقية (CV) باستخدام مسرى الكربون المعدّل وبتطبيق الشروط المثلى قمتين للكادميوم, الأولى قمة مصعدية وذلك عند الكمون -) 680±50)mV, والثانية قمة مهبطية وذلك عند الكمون (-880±10)mV وقد كانت قيم كثافة تيار القمة المصعدية متناسبة طرداً خطياً مع تراكيز من شوارد الكادميوم (II) ضـــمن مجال يتراوح بين $^{-1}$ mol.L تم ترسيب الكادميوم (II) على سطح المسرى بتطبيق كمون إرجاعي 30sec أمدة 30sec، ثم أُخذت القياسات الكرونوأمبيرومترية بقياس كثافة تيار أكسدة الكادميوم (II) وذلك عند تطبيق كمون ثابت (680mV) موافق لإتمام الأكسدة (إزالة الترسيب) لمدة 30sec. كانت قيم كثافة التيار متناسبة طرداً خطياً مع تراكيز شوارد الكادميوم (II) ضمن مجال يتراوح بين 10^{-8} 10^{-8} 10^{-8} 10^{-8} مع انحراف معياري نسببي مئوي (RSD%) لم يتعد 4.7%, وحد كشف (LOD) -0.18×10⁻⁸mol.L-1 (LOD). أظهرت الطريقة المتبعة انتقائية وحساسية عالية لتحديد شوارد الكادميوم (II) في بعض عينات الخضار, كما أعطت مقارنة النتائج الحاصلة مع نتائج التحليل بطيف الامتصاص الذري توافق جيد الكلمات المفتاحية: التحليل الكرونوأمبيرومتري، مسرى كربون معدّل، شوارد الكادميوم(II) ، التحليل الفولط أمبيرومتري الحلقي، PEDOT:PSS

ورد البحث للمجلة بتاريخ ١//2018

قبل للنشر بتاريخ ١//2018

1- مقدمة

ازدادت في السنوات الأخيرة أهمية تحديد الكادميوم (II) في البيئة حيث يعد من أهم وأكثر المعادن ضرراً على صحة الإنسان والبيئة [1]، ومايزال يُستخدم في العديد من التطبيقات الصناعية [2], وكتأثير سلبي لهذه الصناعات ينبعث الكادميوم(II) بكميات كبيرة في الهواء, كما أنه يتراكم في التربة والمياه وينتقل إلى النباتات ويدخل أجسام الكائنات الحية بطرق عدّة [3]. وقد حددت منظمة الصحة العالمية الحد الأقصى للكادميوم(II) في مياه الشرب 0.01ppm [5].

2- الأبحاث السابقة

استُخدمت طرائق عديدة لتحديد الكادميوم (II) في مختلف المجالات البيئية منها التحليل بمطيافية الكتلة المتزاوجة مع مطيافية البلازما (ICP-MS) [6] والتحليل بطيف الامتصاص الذري (ASS) [7], والمساري المنتقية للشوارد (ISE) والتحليل الطيفي [9] [9]. إلا أن الطرائق التحليلية الكهركيميائية تفوقت على جميع الطرائق التحليلية السابقة بسبب تكلفتها المنخفضة وحساسيتها العالية, إضافة إلى أنها تتمتع بسهولة وسرعة في العمل[11].

استُخدمت المساري الكاشفة المعدّلة مثل الذهب[12] والبلاتين [13] ومسرى الزئبق بأنواعه المختلفة [14]، عند تحديد شوارد الكادميوم(II) بالطرائق الكهركيميائية، إلا أنه وبسبب التكلفة المرتفعة والسّميّة العالية للزئبق, وما يرافقه من مخاطر لدى معالجته [15]، فقد توجهت الأبحاث لإيجاد مساري ذات تكلفة وسُميّة منخفضة، لذلك استُخدمت مساري الكربون المعدّلة في السنوات الأخيرة كبدائل جيدة, حيث يمتلك الكربون في حالات

خاصة (الغرافيت) توزع إلكتروني فريد ومساحة سطح نوعي كبيرة, وناقلية جيدة ومقاومة ممتازة للعوامل البيئية [16]. تم تحديد شوارد الكادميوم(II) باستخدام مساري الكربون المعدّلة بمواد كيميائية مختلفة والتي يمكنها أن ترتبط بشوارد الكادميوم(II) بشكل كيميائي أو كهركيميائي كالشيتوزان (Chitosan)[17], الكاولين (kaolin) إ13], أوكسيد الكروم (Cr-CPE) بولي سايكلوديكسترين polycyclodextrin [20] دي أستيل دي أوكسيم (dithizone أوكسيم (dithizone) [21]، الديتيزون dithizone المعدّلة بمواد بوليميرية لتحديد الكادميوم (II) بالطرائق الكهركيميائيية مشل بولي 2,1 دي أمينو أنشراكوينون -Poly(1,2). الكهركيميائيية مشل بولي حمض الأكريليك (PAA/ GCE) [23] (PAA/ GCE) [23]

حققت المادة البوليميرية بولي (4,3 إيتلين دي أوكسي ثيوفين) PEDOT نجاحاً تجارياً كمادة ناقلة (ناقليتها حوالي 10-25/cm), وذلك لما تتمتع به من ثبات كيميائي وحراري ممتاز, كما أنها ذات تركيب منتظم وفجوة طاقية منخفضة (1.5-1.6) [25]. ينتج بولي (4,3 إيتلين دي أوكسي ثيوفين) عن تفاعل البلمرة الأحادية لجزيئات إيتلين دي أوكسي ثيوفين بوجود مؤكسد قوي من كبريتات الحديد[26]، وكون أن انحلاليته ضعيفة جداً بالإضافة لأنه غير مستقر فقد تم إدخال بولي ستايرين حمض السلفونيك أثناء عملية البلمرة بوجود مؤكسد قوي من كبريتات الحديد ليعطي مادة أكثر استقراراً وثباتاً أثناء حملية البلمرة بوجود مؤكسد قوي من كبريتات الحديد ليعطي مادة أكثر استقراراً وثباتاً كرمز لها Poly(3,4- ethylenedioxythiophene) poly(styrene sulfonate كما أن ناقليته أصبحت أكبر بالإضافة لإمكانية بلمرته حرارياً [28][29].

3- أهمية البحث وأهدافه

يهدف هذا البحث إلى تصميم مساري من الكربون ذات ناقلية كهربائية جيدة, وتعديل سطحها الفعال بالمادة البوليميرية PEDOT:PSS. ثم دراسة الشروط التحليلية المُثلى لتحديد الكادميوم (II) بتقانة التحليل الفولط أمبيرومتري الحلقي. PEDOT

II

وأخيراً تطبيق هذه الشروط لإجراء القياسات الكرونوأمبيرومترية لتحديد تراكيز الكادميوم (II) في بعض عينات الخضار.

أظهر المسرى المعدّل بمادة PEDOT:PSS مقارنة بالمساري العارية والمساري المعدّلة بمواد كيميائية أخرى, وضمن الشروط التجريبية المثلى حساسية وانتقائية عالية لتحديد شوارد الكادميوم (II) بالطرائق الكهركيميائية المذكورة, وبتداخلات ضئيلة من الشوارد المعدنية الأخرى, التي قد تتواجد في العينات المحللة. وتميزت هذه المساري المصممة بتكلفتها الاقتصادية القليلة و بإمكانية معالجتها بشكل سهل وبسيط لإعادة استخدامها في تجارب أخرى وكذلك أبدت سرعة وسهولة في العمل, وأعطت نتائج تحليلية ذات صحة وتكرارية عالية.

4- القسم العملي

1-4- الأجهزة

- استُخدم في هذا البحث محطة كمونية صنع شركة RADIOMETER السويدية نموذج PGP-201 يتم التحكم بها حاسوبياً, تتضمن خلية تحليل زجاجية سعة 100mL مزودة بحمام مائي, تضم ثلاث مساري؛ هي مسرى الكربون المعدّل كمسرى كاشف, ومسرى الكربون العاري كمسرى مساعد والمسرى المقارن Ag/AgCl (إنتاج شركة ومسرى الكربون العاري كمسرى مساعد والمسرى المقارن Ag/AgCl (إنتاج شركة Metrohm السويدية, نموذج AG9101, مملوء بكلوريد البوتاسيوم ¹-3mol.L.)، ويتم رسم المنحنيات الفولط أمبيرومترية ومعالجة المعطيات باستخدام برنامج MASTER.
- بغرض مقارنة النتائج التحليلية بطريقة مرجعية استخدم جهاز التحليل بطيف الامتصاص الذري إنتاج شركة Hitachi نموذج Z-2000, مزود بمصباح مهبطي مجوف نوعي لشوارد الكادميوم (II)، ضمن الشروط التجريبية. كما هو مبين في الجدول رقم (1):

الجدول (1): الشروط التحليلية المستخدمة لتحديد (II) Cd (II)، في جهاز الامتصاص الذري في اللهب FAAS.

Cd(II)	العنصر المدروس
228.8	طول الموجة، نانومتر
2.0	تيار المصباح، ميلي أمبير
Zeman	نمط تصحيح الخلفية
0.2	عرض الشق، نانومتر
8	ارتفاع الحراق، ملم
1400	تدفق غاز الاسيتيلين، مل/دقيقة
6	تدفق الهواء، ليتر /دقيقة

- ميزان تحليلي حساس نموذج TE64, حساسيته 0.1mg من شركة SARTORIUS الألمانية.
- جهاز قياس حموضـة الوسـط Inolap pH level1 من شركة Vissenschaftlich الألمانية. Techmische Werkstatten
- ماصات آلية ألمانية الصنع من نوع ISOLAB ذات سعات مختلفة ويمكن التحكم بحجمها عن طريق معدلة الحجم.

2-4- المواد الكيميائية

خُضِــرت الـمادة الـمعـدِلـة PEDOT:PSS في مختبر أبحاث (San Sebastian,spain) من تفاعل بلمرة إيتلين دي أوكسي ثيوفين مع بولي ستايرين (San Sebastian,spain) من تفاعل رقم (1) [30]. بوليمير مشترك من حمض الأكريليك مع مقسي سلفونيك أسيد، التفاعل رقم (1) [30]. بوليمير مشترك من حمض الأكريليك مع مقسي سائل صنع شركة RESPAL الإيطالية. استُخدمت قضـبان من الكربون قطرها مساري Thermadyne, Arcair, Tweco Inc. وذلك لتحضير مساري الكربون.

ر محلول شوارد الكادميوم (II) الأساسي تركيزه $^{-1}$ 10- $^{-2}$ mol.L أنطلاقاً كُوْبِر محلول شوارد الكادميوم (Cd(NO3)2 (II) نقاوته $^{-2}$ 99.5% وذلك من ملح نترات الكادميوم (Merck نترات الكادميوم ($^{-2}$ 00)2 نقاوته $^{-2}$ 00 نقاوته $^{-2}$ 00)

بإذابة 3.084g منه في 100mL من الماء ثنائي التقطير ثم تنقل لدورق حجمي سعة 1000 mL ويتمم الحجم حتى الدائرة العيارية. ثم حُضرت جميع المحاليل العيارية للكادميوم (II) بتراكيز أدنى انطلاقاً منه بعد تمديده بالماء ثنائى التقطير وفق ما هو مطلوب.

خضر رت محاليل الكهرليتات بتركيز ثابت لكل منها 0.05mol.L-1 من حمض كلور الماء (HNO3,65%)، حمض الأزوت (HNO3,65%)، حمض الخل (H3PO4)، حمض الكبريت (H2SO4)، حمض الفوسفور (H3PO4) كلوريد الصوديوم (CH3COONa) خلات الصوديوم (NaCl). ولدراسة تأثير التداخلات الحاصلة بفعل وجود الشوارد المعدنية الأخرى استخدمنا أملاح النترات للشوارد المعدنية وجميعها كانت عالية النقاوة.

poly(3,4- ethylenedioxythiophene) poly(styrene sulfonate) PEDOT:PSS

التفاعل رقم (1): يوضح معادلة اصطناع البوليمير PEDOT:PSS

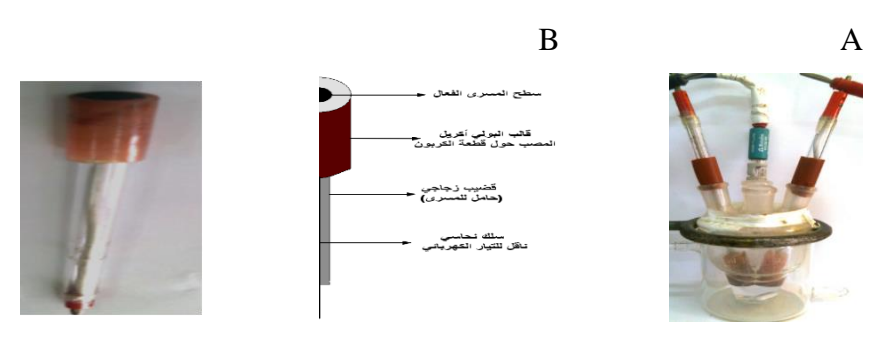
3-4- تحضير مسرى الكربون

حُضِر مسرى الكربون بأخذ قطعة بطول تقريبي يساوي 1cm من قضيب الكربون يوصل أحد طرفيه بسلك نحاسي, ثم يوضع بشكل عمودي في مركز قالب اسطواني ذو قطر داخلي 2cm ويُصب حوله معجونة من بولي حمض الأكريليك المحضرة مباشرة بخلط 1g من مسحوق حمض الأكريليك مع 5mL من السائل المقسي. يُترك قالب المسرى المحاط بالمعجونة لمدة نصف ساعة حتى يجف عند درجة حرارة الغرفة, يُلمع سطح المقطع العاري غير المغطى بالشحذ وي ُغسل بالماء المقطر ومن ثم يُجفف. بذلك يصبح لدينا مسرى من الكربون ذو مساحة مقطع تماس 0.708cm² ومحاط بمادة بولي حمض الأكريليك العازلة.

تمت معالجة سلطح مسرى الكربون العاري بغمره ضمن خلية كمونية تحوي PCIO4,0.1M موصولة بالمحطة الكمونية المستخدمة في التحليل. وتمت المعالجة أولاً بتمرير تيار كهربائي مستمر وذلك من خلال تطبيق فرق كمون بين المسربين الكاشف والمساعد (-2.5) لمدة min ملاين الكهربائية للسطح الفعّال عن طريق إدخال أيونات الصوديوم ضمن طبقات زيادة الناقلية الكهربائية للسطح الفعّال عن طريق إدخال أيونات الصوديوم ضمن طبقات الغرافيت. بعد ذلك نطبق على المسرى كمون موجب قدره (10+) لضمان التخلص من الرواسب على سطح المسرى والحصول على سطح صقيل قدر الامكان ويُوضح المسرى المُصنع بالشكل رقم (1). وقد استُخدم مسرى الكربون العاري المحضر وفق الطريقة ذاتها وبعد السابقة كمسرى مساعد, بينما استخدم مسرى الكربون المحضر وفق الطريقة ذاتها وبعد تعديله بمادة PEDOT:PSS كمسرى كاشف لتحديد شوارد الكادميوم(II).

4-4- تعديل مسرى الكربون باستخدام البوليمير PEDOT:PSS

تُحمّل المادة المعدِلة PEDOT:PSS بواسطة الماصة الآلية على سطح مسرى الكربون وتُغرش بشكل جيد ومن ثم تُجفف عند الدرجة 60° C لمدة 60° C دقيقة. ثم يُنشط المسرى المعدّل بوضعه في خلية التحليل ويُطبق عليه مسح كموني حلقي ضمن المجال من (0.0) إلى (0.0)V بوجود كهرليت HCl تركيزه (0.0)C وبوجود مسرى مقارن (0.0)Ag/AgCl ومسرى مساعد من الكربون, عدد دورات المسح (0.0)C دورة سرعة المسح الكمونى (0.0)C بسرعة تحريك المحلول (0.0)C بواسطة المحلول المحلول المحل



PEDOT:PSS الشكل رقم (1): يبين (A) خلية التحليل المستخدمة (B) مسرى الكربون المعدّل بمادة PEDOT:PSS المصنع في المختبر

4-5- تحضير محلول العينة المقاسة

تم جمع بعض عينات الخضار من المنطقة الواقعة جنوب وشرق مدينة حلب (الزربة – السفيرة)، والتي تُسقى بمياه نهر قويق المار من مدينة حلب حيث تصب فيه مخلفات الصرف الصحي والصناعي. تم غسل الخضروات وتجفيفها لمدة 4h عند الدرجة 105°C ثم بعد ذلك رُمدت حوالي 10g من العينة عند الدرجة 500°C لمدة ما يُذاب الرماد الناتج في 10ml من محلول حمض الأزوت 6M مع التسخين لضمان حل يُذاب الرماد الناتج في 10ml من محلول الناتج ومن ثم يُكمل الحجم بالماء المقطر حتى الحجم المحلول المحضر 100 المحضر 100 المحضر 25ml أيكمل الحجم بكهرليت حمض كلور الماء 100 mol.L.

4-6- طريقة العمل

1-6-4 القياسات الفولط أمبير ومتربة الحلقية

يُؤخذ حجم قدره 25mL من كل محلول من المحاليل العيارية لشاردة الكادميوم (II) كلاً على حدى, ويوضع في خلية التحليل مع التحريك بسرعة 550rpm. يُرسم المنحني الفولط أمبيرومتري الحلقي ضيمن المجال من (0.0)V حتى (0.0-) مقابل مسرى مقارن من Ag/AgCl, بتطبيق سرعة مسح كموني 10mv/sec, وعدد دورات المسح 3cycle. يتم ترسيب شوارد الكادميوم (II) على سطح المسرى المعدّل وفقاً لـ المسح Cd→Cd²++2e عند كمون ثابت، ثم يُزال الترسيب بتطبيق كمون مصعدي وثقاس كثافة التيار الناتج عن إزالة الترسيب اعتباراً من دورة المسح الثالثة لكل تركيز.

2-6-4 القياسات الكرونوأمبيرومترية

تم إجراء القياسات الكرونوأمبيرومترية لمحاليل الكادميوم (II) والمحضرة بتراكيز $0.05 \, \mathrm{mol.L^{-1}}$ من مرتبة $1.1 \, \mathrm{mol.L^{-1}}$ في محلول كهرليت حمض كلور الماء ذي التركيز $1.1 \, \mathrm{mol.L^{-1}}$ على خطوتين: في الخطوة الأولى تم تطبيق كمون إرجاعي مناسب لإتمام ترسيب شوارد

الكادميوم (II) على سطح المسرى (880mV) مقابل مسرى مقارن من Ag/AgCl وكان زمن الترسيب 30sec. ثم تأتي الخطوة الثانية وهي بتطبيق كمون أكسدة مناسب لإتمام أكسدة جميع الكادميوم (II) المترسب على سطح المسرى وكانت قيمته (-680mV). حيث كان الزمن المناسب لإتمام أكسدة الكادميوم (II) المترسب على سطح المسرى 30sec وذلك يتناسب تركيز شوارد الكادميوم (II) في المحلول.

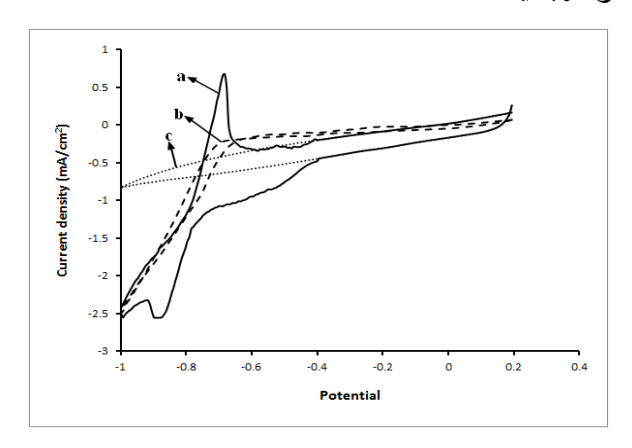
5- النتائج والمناقشة

5-1- المنحنيات الفولط أمبيرومتربة الحلقية للكادميوم (II)

رُســمت المنحنيات الغولط أمبيرومترية الحلقية (CV) لمحلول يحوي شــوارد رُســمت المنحنيات الغولط أمبيرومترية الحلقية (CV) لمحلول يحوي شــوارد الكادميوم (II) بتركيز $^{-1}$ 10-4mol.L بتركيز $^{-1}$ 4. باسـتخدام مسـرى الكربون العاري ومسـرى $^{-1}$ 4. بوجود حمض كلور الماء بتركيز $^{-1}$ 5.00mol.L بوجود حمض كلور الماء بتركيز $^{-1}$ 5.00mv/sec مع سرعة تحريك $^{-1}$ 5.00mv/sec بتطبيق سرعة مسح كموني

يوضح الشكل رقم (2) المنحني (a)، بأن المنحنيات الفولط أمبيرومترية الحلقية لمحلول الكادميوم(II) تركيزه 1-10-4 mol.L أخطهر في حال استخدام مسرى الكربون المعذل بمادة PEDOT:PSS، قمة مصعدية حادة وواضحة موافقة للكمون -) والمعذل بمادة PEDOT:PSS، وقمة مهبطية واضحة موافقة للكمون (IV)mV وقمة مهبطية واضحة موافقة للكمون (IV)mV ومادة PEDOT:PSS عكوسية التفاعل الكهركيميائي ما بين شوارد الكادميوم (II) ومادة PEDOT:PSS المعدلة لسطح مسرى الكربون. و نلاحظ في المنحني (c), أنه لم تظهر المنحنيات الفولط أمبيرومترية الحلقية لمحلول الكادميوم (II) باستخدام مسرى الكربون العاري أية قمة ضمن مجال المسح الكموني، وهذا يدل على عدم حساسية مسرى الكربون العاري تجاه شرورد الكادميوم (II). وكذلك في المنحني (d), حيث لم تظهر المنحنيات الفولط أمبيرومترية الحلقية لمحلول كهرليت حمض كلور الماء 1-0.05 mol.L باستخدام مسرى الكربون المعدّل (بغياب أيونات الكادميوم(II)) أية قمة مصعدية أو مهبطية ضمن مجال الكربون المعدّل (بغياب أيونات الكادميوم(II)) أية قمة مصعدية أو مهبطية ضمن مجال الكربون المعدّل (بغياب أيونات الكادميوم(II)) أية قمة مصعدية أو مهبطية ضمن مجال

المســح الكموني، وبالتالي فإن مسـرى الكربون العاري والكهرليت لا يمتلكان أي قمة مصعدية أو مهبطية.



 $1 \times 10^{-4} \; \text{mol.} L^{-1}$ الشـــكل رقم (2), المنحنيات الفولط أمبيرومترية الحلقية، (a) لمحلول الكادميوم (II) تركيزه $1 \times 10^{-4} \; \text{mol.} L^{-1}$ باســتخدام باســتخدام مسـرى الكربون المعدّل بمادة (b) ,PEDOT:PSS مســرى الكربون العاري, (c) محلول كهرليت حمض كلور الماء $0.05 \; \text{mol.} L^{-1}$ باســتخدام مســرى الكربون العاري, PEDOT:PSS

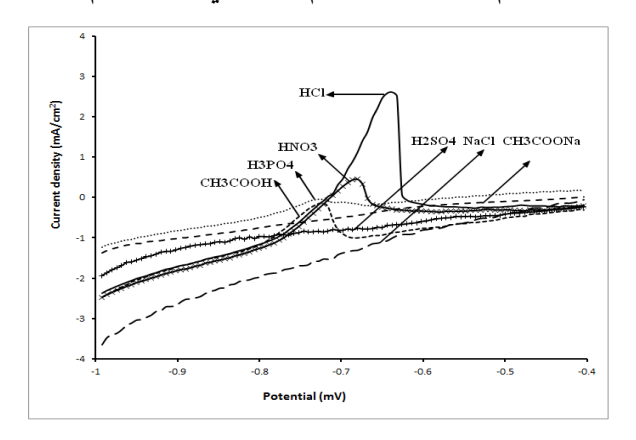
2-5- دراسة الشروط التجريبية المثلى لتحديد شوارد الكادميوم (II) باستخدام مسرى الكربون المعدّل بمادة PEDOT:PSS

تمت دراسة تأثير كل من نوع وتركيز الكهرليت المستخدم وكمية المادة المعدِلة وثباتية الفيلم، على المنحنيات الفولط أمبيرومترية الحلقية والكرونوأمبيرومترية بغية تطبيقها في تحديد شوارد الكادميوم (II) باستخدام مسرى الكربون المعدّل بمادة PEDOT:PSS.

5-2-1- دراسة تأثير نوعية الكهرليت في المنحنيات الفولط أمبيرومترية الحلقية للكادميوم (II)

رُسـمت المنحنيات الفولط أمبيرومترية الحلقية للكادميوم (II) باسـتخدام مسـرى الكربون المعدّل بمادة PEDOT:PSS، وذلك بتحضــير محاليل لكهرليتات مختلفة مثل (H2SO4 ، H3PO4، CH3COONa ،NaCl ،CH3COOH ،HNO3 ،HCl) بتركيز ثابت لكل منها 0.01mol.L⁻¹، وتحوى جميعها تركيزاً ثابتاً من الكادميوم

(II) من شكل القمة المصعدية للكادميوم (II) ويضح الشكل رقم (3)، أن شكل القمة المصعدية للكادميوم (II) وكمونها وكثافة التيار لها تتأثر بنوع الكهرليت المستخدم، ونلاحظ أن القمة كانت أكثر حدة وتناظر وارتفاع لدى استخدام حمض كلور الماء ويُعزى ذلك للناقلية الكهربائية الجيدة لشوارد الكلوريد، يليه حمض الأزوت في حين تتناقص قيمة كثافة تيار هذه القمة وتصبح عريضة وغير متناظرة في حال استخدام حمض الفوسفور أو حمض الخل بينما لا تظهر أية قمة بحال استخدام خلات الصوديوم أو كلوريد الصوديوم أو حمض الكبريت.



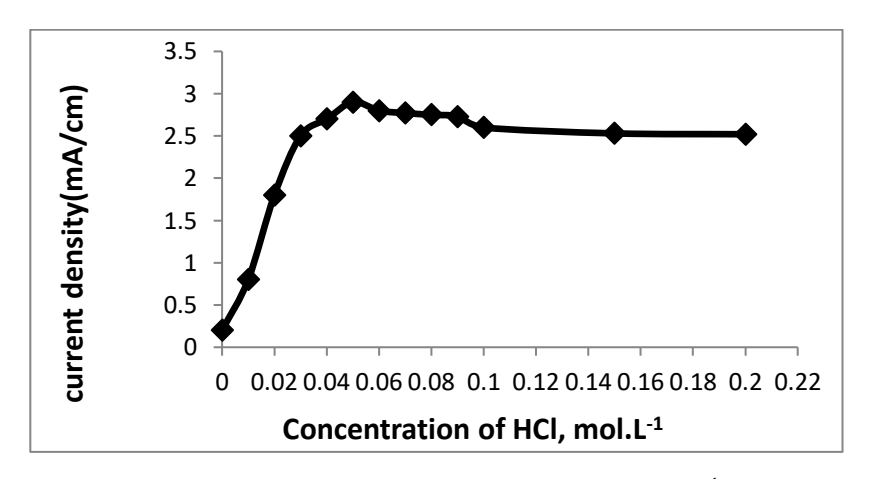
الشكل رقم (3): يوضى المنحنيات الفولط أمبيرومترية الحلقية للكادميوم (II) تركيزه $^{-1}$ 10mV/sec باستخدام مسرى الكربون المعدّل بمادة PEDOT:PSS، بتطبيق سرعة المسح الكموني $^{-1}$ 10mV/sec سرعة تحريك للمحلول $^{-1}$ 550rpm للمحلول الكهرليتات التالية تركيز كل منها $^{-1}$ 0.01 mol.L-1

(a) , (b)HNO3 , (c) H3PO4 (d) CH3COOH , (e) H2SO4 (f) NaCl , (g) CH3COONa HCl

5-2-2-دراســـة تأثير تركيز الكهرليت على المنحنيات الفولط أمبيرومترية الحلقية للكادميوم (II)

يوضـــح الشــكل رقم (4), تأثير تركيز حمض كلور الماء والذي تم اعتماده ككهرليت داعم على تحديد الكادميوم (II) تركيزه $^{-1}$ 0-4mol.L ككهرليت داعم على تحديد الكادميوم تزداد بازدياد تركيز حمض كلور الماء حتى كثافة تيار القمة المصــعدية للكادميوم تزداد بازدياد تركيز حمض كلور الماء حتى التركيز $^{-1}$ 0.05mol.L ثم تتناقص عند تراكيز أكبر من ذلك، ومن الممكن أن يُغسـر ذلك بزيادة نسـبة الشـوارد المعيقة لحركة شـوارد الكادميوم (II) مما يُعيق من وصــولها إلى

المسرى الكاشف وبالتالي نقصان قيم كثافة التيار، ومنه فإن التركيز الأفضل لحمض كلور الماء هو 1-0.05 مند تحديد شوارد الكادميوم (II) بالتحليل الفولط أمبيرومتري الحلقي والكرونوأمبيرومتري باستخدام مسرى الكربون المعدّل بمادة PEDOT:PSS.



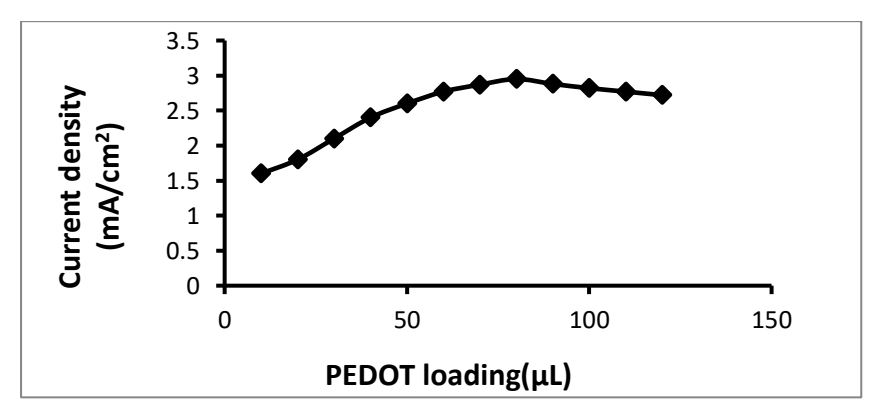
 2×10^{-1} الشكل رقم (4): تأثير تركيز الكهرليت المستخدم في كثافة تيار القمة المصعدية للكادميوم (II) تركيزه $^{-1}$ تركيزه $^{-1}$ بتطبيق سرعة المسح $^{-1}$ بالتحليل الفولط أمبيرومتري الحلقي باستخدام مسرى الكربون المعدّل بمادة $^{-1}$ بصرعة تحريك للمحلول $^{-1}$ بالكربون المعدّل بمادة $^{-1}$ بالتحليل المحلول $^{-1}$

3-2-5- دراســــة تأثير كمية المادة المُعدِلة PEDOT:PSS في المنحنيات الفولط أمبيرومترية الحلقية (CV) للكادميوم(II)

تمت دراسة تأثير كمية مادة PEDOT:PSS المُحمَّلة على سطح مسرى الكربون في قيم كثافة تيار قمة أكسدة الكادميوم (II) وذلك باستخدام كميات من PEDOT:PSS في قيم كثافة تيار قمة أكسدة الكادميوم (II) وذلك باستخدام كميات الفولط أمبير ومترية الحلقية تراوحت بين μ L ومن ثم رُســمت المنحنيات الفولط أمبير ومترية الحلقية بالنسبة لمحلول الكادميوم (II) $^{-4}$ mol.L وبنفس الشروط السابقة.

يوضح الشكل رقم (5)، أن تغير كمية مادة PEDOT:PSS المُحمَّلة على سطح مسرى الكربون تؤثر في كثافة تيار القمة المصعدية للكادميوم (II)، حيث أن ازدياد كمية مادة PEDOT:PSS يؤدي إلى زيادة عدد المواقع الفعالة كهركيميائياً على سلطح المسرى، وبالتالي زيادة عدد شوارد الكادميوم (II) المُترسبة (بفعل تطبيق كمون إرجاعي)

على سطح المسرى، وتصبح كثافة تيار هذه القمة أكبر ما يمكن عندما تكون كمية مادة PEDOT:PSS المُحمَّلة على سطح المسرى مساوية للقيمة PEDOT:PSS مادة PEDOT:PSS إلى قيم أكبر من ذلك، من الممكن أن تنقص الناقلية الكهربائية على سطح المسرى وهذا ما يُفسر تناقص كثافة تيار القمة المصعدية للكادميوم (II) عند كميات من مادة PEDOT:PSS أكبر من القيمة PEDOT:PSS.



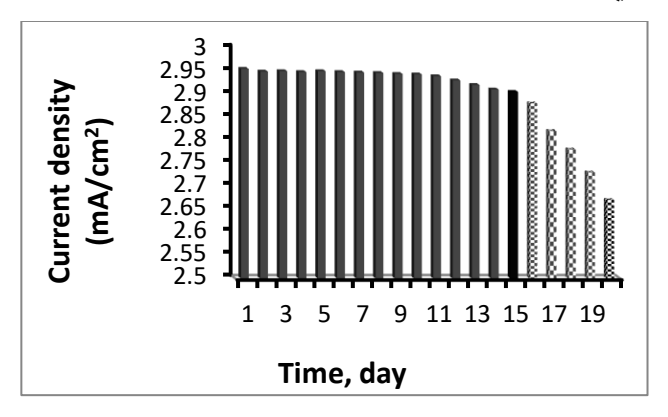
الشكل رقم (5): تأثير كمية المادة المعنّل ة PEDOT:PSS في قيمة كثافة تيار القمة المصعدية للكادميوم (II) تركيزه 2×10^{-4} mol.L $^{-1}$ بالتحليل الفولط أمبيرومتري الحلقي في وســط من حمض كلور الماء 0.05 mol.L $^{-1}$ الممونى 0.05 سرعة تحريك المحلول 0.05 درجة حرارة المحلول 0.05 سرعة تحريك المحلول المحلول 0.05 درجة حرارة المحلول 0.05

2-2-4-دراســـة تأثير ثباتية طبقة PEDOT:PSS في المنحنيات الفولط أمبيرومترية الحلقية (CV) للكادميوم (II)

تمت دراسة تأثير ثباتية طبقة مادة PEDOT:PSS المُحمَّلة على سطح مسرى الكربون في المنحنيات الفولط أمبيرومترية الحلقية للكادميوم (II)، حيث رُسمت المنحنيات الفولط أمبيرومترية الحلقية لمحلول للكادميوم (II) تركيزه 2×10-4mol.L-1 بتطبيق الشروط التجريبية السابقة، وسُجلت كثافة تيار القمة المصعدية. ثم خُفِظ المسرى السابق ضلما محلول حمض كلور الماء تركيزه 0.05mol.L-1، وفي اليوم التالي تم غسل المسرى المعدّل واستُخدم في رسم المنحنيات الفولط أمبيرومترية الحلقية لمحلول الكادميوم (II) تركيزه 1-2×10-4mol.L وبنفس الشروط السابقة وأُخذت قيمة كثافة تيار القمة

المصعدية، تم تكرار هذا العمل لعدة أيام وباستخدام نفس مسرى الكربون المعدّل وبتطبيق نفس الشروط التجرببية وأُخذت قيمة كثافة تيار قمة الأكسدة في كل مرة.

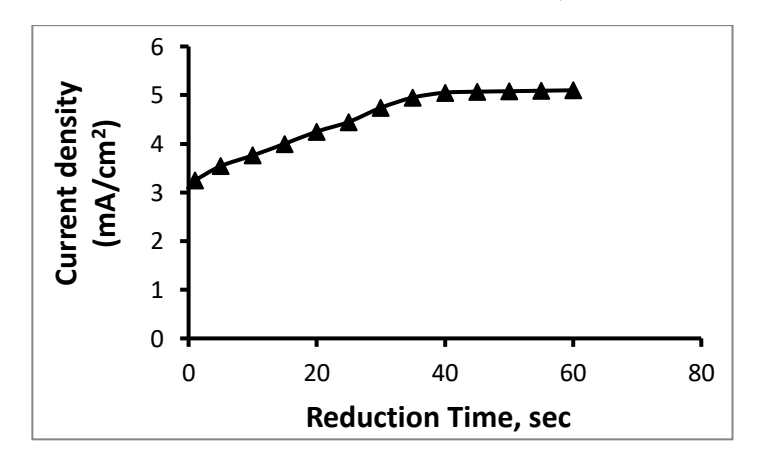
يوضح الشكل رقم (6)، أن طبقة PEDOT:PSS المُحمَّلة على سطح مسرى الكربون تبدي ثباتية جيدة على سطح المسرى الموجود ضمن خلية التحليل الحاوية على محلول الكادميوم (II) بتركيز 10-4mol.L-1×2، بوسط من حمض كلور الماء محلول الكادميوم (وذلك لمدة 15 يوم دون أن يحدث تناقص واضح في قيمة كثافة تيار القمة المصعدية للكادميوم (II)، حيث لم يتعدّ الخطأ النسبي المئوي (RSD%) في قياس القيمة المُقاسة %4، لكن وبعد حفظ المسرى المعدّل لأكثر من 15 يوم ضمن محلول حمض كلور الماء تركيزه 0.05mol.L-1 المُحمَّلة على سطح مسرى الكربون تبدأ بالانتباج ومن ثم تتخرب بتأثير الحمض عليها، وهذا يؤدي إلى متاقص قيمة كثافة تيار القمة المصعدية للكادميوم (II). وبالتالي نستطيع القول أن العمر التجريبي للمسرى حوالي 360 ساعة عمل.



الشكل رقم (6): تأثير ثباتية طبقة PEDOT:PSS المحملة على سطح المسرى في كثافة تيار القمة المصعدية للكادميوم(II) تركيزه $^{-}1.10^{-4}$ mol.L تركيزه $^{-}1.10^{-4}$ mol.L تركيزه $^{-}1.10^{-4}$ mol.L مسرعة تحريك المحلول rpm 3 cycle مسرعة المسلح الكموني $^{-}1.10$ عدد دورات المسلح 3 cycle درجة حرارة المحلول $^{-}2.10$ المحلول $^{-}2.10$ المحلول $^{-}2.10$ بالمحلول $^{-}2.10$ المحلول $^{-}2.10$

(CA) القياسات الكرونوأمبيرومترية (CA) الترسيب على القياسات الكرونوأمبيرومترية (II)

رُسمت المنحنيات الكرونوأمبيرومترية (CA)عند أزمنة ترسيب مختلفة، بتطبيق كمون مهبطي (ترسيب) موافق لإتمام عملية ترسيب شوارد الكادميوم (II). ويُظهر الشكل رقم (7)، تأثير زمن الترسيب على ارتفاع القمة المهبطية وبالتالي تأثيره على ارتفاع القمة المصعدية الناتجة عن إزالة الترسيب. حيث نلاحظ أن ارتفاع القمة المصعدية يزداد بازدياد زمن الترسيب حتى يصل إلى القيمة 30sec ثم يثبت ارتفاعها تقريباً. ويُفسر ذلك أنه بزيادة زمن الترسيب يزداد عدد الشوارد المترسبة على سطح المسرى. وتم اختيار زمن ترسيب مقداره 30sec لإجراء الدراسة.



الشكل (7): تأثير زمن الترسيب لمحلول الكادميوم (II) $^{-8}$ mol.L $^{-1}$ على كثافة تيار القمة المصعدية باستخدام مسرى الكربون المعدّل بمادة PEDOT:PSS .

يُلخص الجدول رقم (2), الشروط المثلى لتحديد شوارد الكادميوم (II) بالتحليل الفولط أمبيرومتري الحلقي والتحليل الكرونوأمبيرومتري باستخدام مسرى الكربون المعدّل PEDOT:PSS.

الجدول رقم (2): الشروط المثلى لتحديد شروارد الكادميوم (II) بالتحليل الفولط أميبرومتري الحلقي والتحليل الكرونوأمبيرومتري باستخدام مسرى الكربون المعدّل بمادة PEDOT:PSS

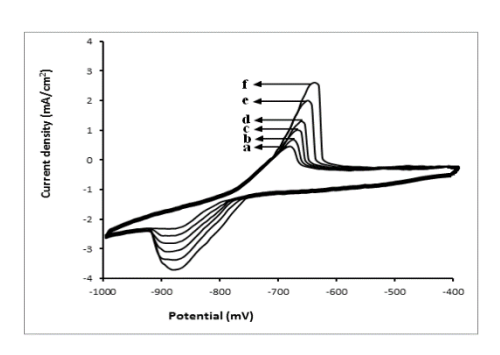
Cd ²⁺	الشاردة المدروسة
مسرى الكربون المُعدّل بمادة PEDOT:PSS	المسرى الكاشف

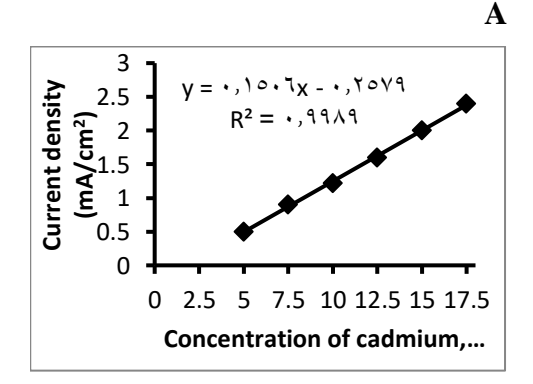
HCl	نوع الكهرليت
0.05mol.L ⁻¹	تركيز الكهرليت HCl
550 rpm	سرعة تحريك المحلول
30sec	زمن الترسيب

(II) العيارية للكادميوم (CV) العيارية للكادميوم المعتربية الحلقية (CV) العيارية للكادميوم المعترب الع

باستخدام الشروط المثلى الموضحة بالجدول رقم (2)، رُسمت المنحنيات الغولط أمبيرومترية الحلقية (CV) لسلسة من محاليل الكادميوم (II) ، حيث وُجد أن كثافة تيار القمة المصعدية متناسبة طرداً خطياً مع تراكيز شوارد الكادميوم (II) ضمن المجال $^{-}$ 10 القمة المصعدية متناسبة طرداً خطياً مع تراكيز شوارد الكادميوم (II) ضمن المجال $^{-}$ 5.0–17.5 mol.L الشكل رقم (8). تم تحديد معادلة المنحني العياري وفق الصيغة $^{-}$ 7.5 mol.L انظر الشكل رقم (8) $^{-}$ 8 ($^{-}$ 9.2579 عيث $^{-}$ 9 كثافة تيار القمة المصعدية الصيغة $^{-}$ 9.3 تركيز شوارد الكادميوم (II) بالتحليل الفولط أمبيرومتري الحلقي باستخدام بالجدول رقم (3) لتحديد الكادميوم (II) بالتحليل الفولط أمبيرومتري الحلقي باستخدام مسرى الكربون المعدّل بمادة PEDOT:PSS بدقة جيدة حيث لم تتجاوز قيم الانحراف المعياري النسبي المئوي ($^{-}$ 8.250) القيمة $^{-}$ 8.3 كما أنها تميزت بالصحة حيث تراوحت قيم الاسترجاعية بين $^{-}$ 99.2-101).







الشكل رقم (8): (A) المنحني العياري للكادميوم (II) باستخدام التحليل الفولط أمبيرومتري الحلقي ضمن الشروط التجريبية المثلى

نسمن (II) المنحنيات الفولط أمبيرومترية الحلقية (CV) لسلسلة من محاليل الكادميوم (II) ضمن الشروط التجريبية المثلى بالتراكيز $mol.L^{-1}$

الجدول رقم (3): تقدير دقة وصحة تحديد شوارد الكادميوم (II) بالتحليل الفولط أمبيرومتري الحلقى باستخدام مسرى الكربون المعدل بمادة PEDOT:PSS ضمن الشروط التحليلية

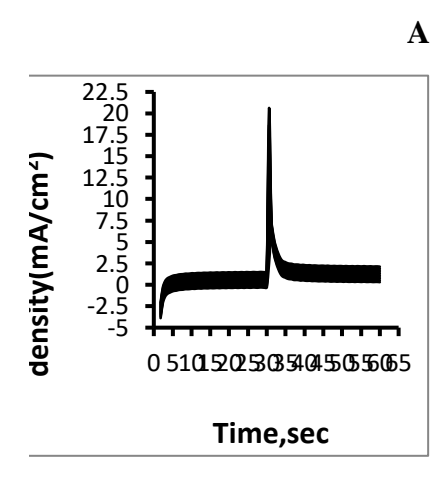
			14 11		
حد الثقة*	خطأ القياس	الاسترجاعية	RSD%	SD ± التركيز	التركيز المأخوذ
	التحليلي	R%	RSD /0	المحدد	Cd(II)
4.96 ± 0.23	0.08	99.20	3.83	4.96 ± 0.19	5.00
7.48 ± 0.26	0.09	99.73	2.80	7.48 ± 0.21	7.50
9.95 ± 0.29	0.10	99.50	2.41	9.95 ± 0.24	10.0
12.12± 0.36	0.12	101.0	2.39	12.12 ± 0.29	12.5
15.08± 0.39	0.14	100.5	2.12	15.08 ± 0.32	15.0
17.37 ± 0.43	0.15	99.25	2.01	17.37 ± 0.35	17.5

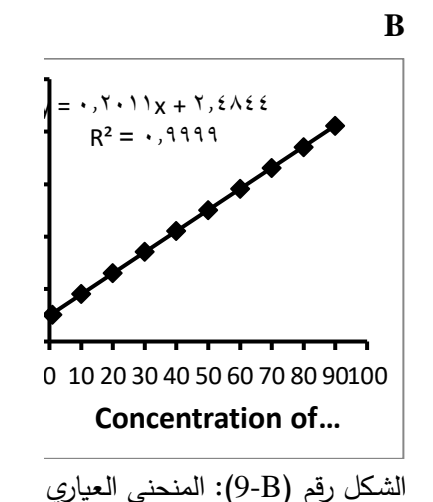
^{*}حدد الثقة عند السوبة %95 وعدد درجات الحربة 5

4-5- الكرونوأمبيرومترية (CA) العيارية للكادميوم (II) باستخدام مسرى الكربون المعدّل بمادة PEDOT:PSS.

باستخدام الشروط المثلى الموضحة بالجدول رقم (1)، رُسمت المنحنيات الكرونوأمبيرومترية (CA) لسلسة من محاليل الكادميوم (II) كما في الشكل رقم (-9) حيث وُجد أن كثافة تيار الأكسدة تكون متناسبة طرداً خطياً مع تراكيز شوارد الكادميوم (II) ضمن المجال $^{-8}$ mol.L للمنحنى العياري متوافقة مع الصيغة التالية Y=0.2011X+2.4844

 $(R^2=0.9999)$. علماً أن Y ثمثل قيمة كثافة تيار الأكسدة $(R^2=0.9999)$. شصوارد الكادميوم (II) بالتحليل المعدّل بناءً على معطيات المنحني العياري الخطي نعرض في الجدول رقم (4)، نتائج تحديد شصوارد الكادميوم (II) بالتحليل الكرونوأمبيرومتري باستخدام مسرى الكربون المعدّل بمادة PEDOT:PSS، لمحاليل عيارية بتراكيز مختلفة ضمن الشروط التجريبية المثلى. تميزت النتائج التحليلية بدقة جيدة حيث لم تتجاوز قيم الانحراف المعياري النسبي المئوي ((RSD)) القيمة (A.7) كما أنها تميزت بالصحة حيث تراوحت قيم الاسترجاعية بين ((RSD)) القيمة (A.7) كما أنها تميزت بالصحة من العلاقة (RSD) الكافت الكيفي الكسترجاعية بين ((RSD)) فكانت قيمته تساوي (RSD)0 من أجل من العلاقة (RSD)0 من أجل من العلاقة (RSD)10 من أجل الكونون المعدّل الكرونوأمبيرومتري باستخدام مسرى الكربون المعدّل بمادة الكادميوم (II) بالتحليل الكرونوأمبيرومتري باستخدام مسرى الكربون المعدّل بمادة (PEDOT:PSS)





الشكل رقم (A-9): المنحنيات

للكادميوم (II) باستخدام التحليال الكرونوأمبيرومترية (CA) لساسلة من محاليل الكرونوأمبيرومتري ضمن الشروط التجريبية الكادميوم (II) ضمن الشروط التجريبية المثلى المثلى, عدد مرات القياس n=5 المثلى, عدد مرات القياس n=5

الجدول رقم (4): تحديد شـوارد الكادميوم (II) بالتحليل الكرونوأمبيرومتري باسـتخدام مسـرى الكربون المعدّل بمادة PEDOT:PSS ضمن الشروط التحليلية المثلى

ام (5 أيام)	خلال عدة أي	الدقة والصحة .	- (الدقة والصحة خلال يوم		التركيز المأخوذ
In	iter-day (1	n=5)	Intra-day (n		Intra-day (n=5)	
الاسترجاعية R%	RSD%	[Cd ²⁺]± SD ×10 ⁻⁸ M	الاسترجاعية R%	RSD%	$[Cd^{2+}] \pm SD \times 10^{-8} M$	Cd(II) ×10 ⁻⁸ M
98.50	4.26	0.985±0.042	102.00	4.70	1.020 ± 0.048	1.0
99.140	3.98	9.914±0.395	99.57	3.75	9.957 ± 0.374	10
101.07	3.68	20.215±0.745	99.42	3.58	19.885±0.712	20
99.570	3.28	29.871±0.982	100.4	3.33	30.120 ±1.00	30

100.23	3.10	40.095±1.244	100.4	3.01	40.182±1.211	40
100.25	2.71	50.128±1.362	99.84	2.72	49.920±1.358	50
99.836	2.40	59.902±1.442	99.92	2.46	59.953±1.475	60
99.978	2.11	69.985±1.480	100.2	2.11	70.154±1.483	70
100.78	1.85	80.625±1.499	100.5	1.90	80.422±1.522	80
100.66	1.76	90.551±1.601	99.86	1.77	89.877±1.589	90

6- التداخلات الحاصلة بفعل وجود شوارد معدنية أخرى

تم دراســة تأثير وجود الشــوارد المعيقة التالية , Fe³⁺, Cu²⁺, Sn²⁺ Zn²⁺, التالية التالية بالتالية التالية الت وذلك (II) وذلك بيد شوارد الكادميوم (Pb²⁺, Hg²⁺, As³⁺, Ca²⁺, Cr³⁺, Co²⁺ بتحضير سلسلة من المحاليل بتراكيز مختلفة لكل شاردة معيقة, بحيث تحوى جميع المحاليل السابقة على تركيز ثابت من شوارد الكادميوم (II) 10^{-8} mol.L $^{-1}$ أخذت القياسات الكرونوأمبيرومترية للمحاليل السابقة ضمن الشروط التجرببية المثلي, وجُدد تركيز الشاردة المعيقة الذي يصبح عنده الخطأ النسبي المئوي في تحديد تركيز الكادميوم (II) أكبر أو يساوى %5, تم إدراج نتائج التداخلات الحاصلة في الجدول رقم (5). نلاحظ من النتائج المبينة بالجدول أن وجود شوارد الزنك الثنائي والحديد الثلاثي والزئبق الثنائي والكالسيوم الثنائي والزرنيخ الثلاثي وإلكروم الثلاثي والنيكل الثنائي لا تسبب تداخل في تحديد شوارد الكادميوم (II) إلا بتراكيز أكبر بحوالي 840 ضعف من تركيز شوارد الكادميوم (II), في حين إن وجود شــوارد القصــدير الثنائي بتراكيز أكبر بحوالي 250 ضعف ووجود شوارد النحاس الثنائي بتراكيز أكبر بحوالي 410 ضعف فهي تسبب إعاقة في تحديد شــوارد الكادميوم (II) كما نلاحظ أن وجود شــوارد الرصــاص بتركيز أكبر بحوالي 50 ضعف تسبب إعاقة وإضحة في تحديد شوارد الكادميوم (II)، ويعلل ذلك بأن كل من شوارد القصدير والنحاس والرصاص تمتلك كمونات أكسدة وارجاع قرببة من قيم كمونات الأكسدة والإرجاع للكادميوم (II) وبالتالي زبادة تركيز هذه الشوارد يؤدي لانزباح الكمون الإرجاعي لها لتصبح بعد التراكيز المبينة في الجدول (5) مؤثرة على تحديد شوارد الكادميوم (II). نستدل من النتائج السابقة على انتقائية الطريقة التحليلية المتبعة باستخدام مساري الكربون المعدّل ة بمادة PEDOT:PSS في تحديد شـوارد الكادميوم (II) في مختلف العبنات البيئية.

الجدول رقم (5): التداخلات الحاصلة بفعل وجود بعض الشوارد المعننية على تحديد شوارد الكادميوم(II) تركيزها 10^{-8} mol.L $^{-1}$

]Cd ²⁺]/[cation[الخطأ النسبي المئوي *Relative Error	RSD%	S.D ×10 ⁻⁸ M	التركيز المحدد (II) التركيز المحدد	الشاردة المعيقة
0.0	0.0	3.40	0.34	9.98	بدون شاردة معيقة
840	+4.8	3.63	0.38	10.48	Zn ²⁺
950	-4.9	3.68	0.35	9.51	Fe ³⁺
410	+5.2	3.80	0.40	10.52	Cu ²⁺
1070	+5.0	3.24	0.34	10.50	Hg ²⁺
50	+4.7	3.92	0.41	10.47	Pb ²⁺
900	-4.6	3.03	0.29	9.54	Ca ²⁺
1000	-5.1	2.73	0.26	9.49	As ³⁺
980	-4.7	3.46	0.33	9.53	Ni ²⁺
250	+5.3	3.60	0.38	10.53	Sn ²⁺
960	-5.0	3.26	0.31	9.50	Cr ³⁺
880	-4.8	2.83	0.27	9.52	Co ²⁺

Relative Error% =
$$\frac{C_{found} - C_{taken}}{C_{taken}} \times 100\%$$

7- التطبيقات العملية

تم تطبيق طريقة التحليل الكرونوأمبيرومتري باستخدام مسرى الكربون المعدّل بمادة PEDOT:PSS لتحديد الكادميوم (II) في بعض عينات الخضار (سلق، سبانخ، خس) المزروعة في منطقتي شرق و جنوب حلب والتي غالباً ما تُسقى من مياه الصرف الصحي والصناعي الصادر عن المعامل المحيطة بمدينة حلب. يوضح الجدول رقم (6), نتائج التحديد الكمي بتطبيق طريقة الإضافات العيارية لشوارد الكادميوم (II) في كل من محاليل عينات الخضار المحضرة (موضحة مسبقاً)، حيث تراوحت قيم الاسترجاعية بين %(5.100-98.50). ويوضح الجدول رقم (7)، مقارنة بين نتائج التحديد الكمي للكادميوم (II) في عينات الخضار بالطريقة التحليلية التي اتبعناها ونتائج مطيافية الامتصاص الذري كطريقة مرجعية. وبمقارنة النتائج عن كلا الطريقتين تبين أن النتائج الإحصائية متقاربة من خلال حساب قيمة المعامل F وقيمة الاختبار f. وهذا يؤكد إمكانية استخدام مسرى الكربون خلال بمادة PEDOT:PSS لتحديد شوارد الكادميوم (II). كما تشير نتائج تحديد مستويات الكادميوم (II) في عينات الخضار إلى التلوث الواضح لهذه الخضار بهذا المعدن السام نتيجة سقايتها بمياه الصرف الصحي والصناعي والحاوي على تراكيز كبيرة للكادميوم (II).

الجدول رقم(6): نتائج التحديد الكمي لشوارد الكادميوم (II) باستخدام التحليل الكرونوأمبيرومتري في بعض عينات الخضار بطريقة الإضافات العيارية

الاسترجاعية R (%)	التركيز SD±المحدد ×10 ⁻⁸ M (n=5)	التركيز المأخوذ Cd(II) ×10 ⁻⁸ M (n=5)	العينة المحددة
-	4.36 ± 0.120	-	
99.0	$0.99^* \pm 0.031$	1.0	السلق
98.6	4.93 ± 0.112	5.0	(Chard)
100.5	10.05 ± 0.305	10.0	
-	3.93 ± 0.131	-	

101.0	$1.01^* \pm 0.042$	1.0	السبانخ
100.4	5.02 ± 0.217	5.0	(Spinach)
99.0	9.90 ± 0.295	10.0	
-	3.92 ± 0.128	-	
98.5	0.985* ± 0.035	1.0	الخس
99.0	4.95 ± 0.185	5.0	(Lactuca)
99.2	9.92 ± 0.302	10.0	

[&]quot;القيمة هنا هي بعد طرح تركيز عينة الكادميوم(II) الموجودة في عينات الخضار

الجدول رقم(7): مقارنة بين تحديد شوارد الكادميوم (II) بالتحليل الكرونوأمبيرومتري والتحليل بمطيافية الامتصاص الذري

طريقة التحليل بطيف الامتصاص الذري (n=5)	طريقة التحليل الكرونوأمبيرومتري (n=5)	العينة
Cd(II) ±SD (µg/g)	$Cd(II) \pm SD$ $(\mu g/g)$	Sample
0.126±0.0036 F=1.49 t =-2.03	0.122±0.0044	السلق (Chard)
0.107 ± 0.0042 $F=1.44$ $t=+1.91$	0.110±0.0035	(Spinach) السبانخ
0.112±0.0024 F=3.21 t = -1.04	0.110±0.0043	الخس (Lactuca)

References

- [1] G. F. Nordberg, K. Nogawa, and M. Nordberg, "Cadmium," in *Handbook on the Toxicology of Metals (Fourth Edition)*, Elsevier, **2015**, pp. 667–716.
- [2] WHO, "Exposure to Cadmium: A Major Public Health Concern." WHO Geneva, Switzerland, 2010.
- [3] H. Wu *et al.*, "Environmental exposure to cadmium: health risk assessment and its associations with hypertension and impaired kidney function," *Sci. Rep.*, vol. 6, p. 29989, 2016.
- [4] A. Bernard, "Cadmium & its adverse effects on human health," *Indian J. Med. Res.*, vol. 128, no. 4, p. 557, 2008.
- [5] L. Järup, M. Berglund, C. G. Elinder, G. Nordberg, and M. Vanter, "Health effects of cadmium exposure--a review of the literature and a risk estimate," *Scand. J. Work. Environ. Health*, pp. 1–51, 1998.
- [6] J. Terán-Baamonde, R.-M. Soto-Ferreiro, A. Carlosena, J.-M. Andrade, and D. Prada, "Determination of cadmium in sediments by diluted HCI extraction and isotope dilution ICP-MS," *Talanta*, vol. 186, pp. 272–278, 2018.
- [7] E. Rawar and A. Rohman, "Validation of atomic absorption spectrophotometry and mercury analyzer for analysis of cadmium, lead and mercury in red chili pepper," *Asian J Agric Res*, vol. **10**, no. **1**, pp. 65–71, 2016.
- [8] C. Göde, M. L. Yola, A. Y\ilmaz, N. Atar, and S. Wang, "A novel electrochemical sensor based on calixarene functionalized reduced graphene oxide: Application to simultaneous determination of Fe (III), Cd (II) and Pb (II) ions," *J. Colloid Interface Sci.*, vol. 508, pp. 525–531, 2017.
- [9] T. da Silva Magalhães and B. F. Reis, "A novel multicommuted flow analysis strategy for the spectrophotometric determination of cadmium in water at \$μ\$g L- 1 levels without using a preconcentration step," *Anal. Methods*, vol. 10, no. 8, pp. 900–909, 2018.
- [10] B. N. Kumar, S. H. Kumar, and G. G. Redhi, "Spectrophotometric Determination of Cadmium (II) in Water and Soil Samples Using Schiff's Bases," 2016.
- [11] A. J. Bard, L. R. Faulkner, J. Leddy, and C. G. Zoski, *Electrochemical methods: fundamentals and applications*, vol. 2. wiley New York, 1980.

- [12] Y. Bonfil, M. Brand, and E. Kirowa-Eisner, "Trace determination of mercury by anodic stripping voltammetry at the rotating gold electrode," *Anal. Chim. Acta*, vol. **424**, no. **1**, **pp. 65–76**, **2000**.
- [13] M. A. El Mhammedi, M. Achak, M. Hbid, M. Bakasse, T. Hbid, and A. Chtaini, "Electrochemical determination of cadmium (II) at platinum electrode modified with kaolin by square wave voltammetry," *J. Hazard. Mater.*, vol. 170, no. 2–3, pp. 590–594, 2009.
- [14] J. Raj, A. Raina, and T. D. Dogra, "Direct determination of zinc, cadmium, lead, copper metal in tap water of Delhi (India) by anodic stripping voltammetry technique," in *E3S Web of conferences*, 2013, vol. 1, p. 9009.
- [15] E. Shams and R. Torabi, "Determination of nanomolar concentrations of cadmium by anodic-stripping voltammetry at a carbon paste electrode modified with zirconium phosphated amorphous silica," *Sensors Actuators B Chem.*, vol. 117, no. 1, pp. 86–92, 2006.
- [16] J. Wang, Analytical electrochemistry. John Wiley & Sons, 2006.
- [17] Z. Guo *et al.*, "Simultaneous determination of trace Cd (II), Pb (II) and Cu (II) by differential pulse anodic stripping voltammetry using a reduced graphene oxide-chitosan/poly-l-lysine nanocomposite modified glassy carbon electrode," *J. Colloid Interface Sci.*, vol. 490, pp. 11–22, 2017.
- [18] Z. Koudelkova *et al.*, "Determination of zinc, cadmium, lead, copper and silver using a carbon paste electrode and a screen printed electrode modified with chromium (III) oxide," *Sensors*, vol. 17, no. 8, p. 1832, 2017.
- [19] G. Roa, M. T. Ramirez-Silva, M. A. Romero-Romo, and L. Galicia, "Determination of lead and cadmium using a polycyclodextrin-modified carbon paste electrode with anodic stripping voltammetry," *Anal. Bioanal. Chem.*, vol. 377, no. 4, pp. 763–769, 2003.
- [20] C. Hu, K. Wu, X. Dai, and S. Hu, "Simultaneous determination of lead (II) and cadmium (II) at a diacetyldioxime modified carbon paste electrode by differential pulse stripping voltammetry," *Talanta*, vol. 60, no. 1, pp. 17–24, 2003.
- [21] S. B. Hočevar, I. Švancara, K. Vyt\vras, and B. Ogorevc, "Novel electrode for electrochemical stripping analysis based on carbon paste modified with bismuth powder," *Electrochim. Acta*, vol. 51, no. 4, pp. 706–710, 2005.

- [22] M. Karimi, F. Aboufazeli, H. Reza, O. Sadeghi, and E. Najafi, "Determination of cadmium (II) ions in environmental samples: a potentiometric sensor," *Curr. World Environ.*, vol. 7, no. 2, 2017.
- [23] K. M. Hassan, S. E. Gaber, M. F. Altahan, and M. A. Azzem, "Novel Sensor Based on Poly (1, 2-Diaminoanthraquinone) for Individual and Simultaneous Anodic Stripping Voltammetry of Cd2+, Pb2+, Cu2+ and Hg2+," *Electroanalysis*.
- [24] M. O. Oyagi, J. O. Onyatta, G. N. Kamau, and P. M. Guto, "Simultaneous Determination of Trace Lead (II), Cadmium (II) and Cobalt (II) by Differential Pulse Anodic Stripping Voltammetry Using Polyacrylic acid/Glassy Carbon Electrode," *Int. J. Sci. Basic Appl. Res.*, vol. 23, no. 2, 2015.
- [25] B. N. Reddy, A. Pathania, S. Rana, A. K. Srivastava, and M. Deepa, "Plasmonic and conductive Cu fibers in poly (3, 4-ethylenedioxythiophene)/Cu hybrid films: enhanced electroactivity and electrochromism," *Sol. Energy Mater. Sol. Cells*, vol. 121, pp. 69–79, 2014.
- [26] Q. Zhao, R. Jamal, L. Zhang, M. Wang, and T. Abdiryim, "The structure and properties of PEDOT synthesized by template-free solution method," *Nanoscale Res. Lett.*, vol. 9, no. 1, p. 557, 2014.
- [27] A. Nitta and K. Shimono, "Preparation of PDOT: PSS Transparent Conductive Film Using Ink-Jet Printing," *Adv. Mater. Phys. Chem.*, vol. 5, no. 12, p. 467, 2015.
- [28] A. Dkhissi, D. Beljonne, and R. Lazzaroni, "Atomic scale modeling of interfacial structure of PEDOT/PSS," *Synth. Met.*, vol. 159, no. 5–6, pp. 546–549, 2009.
- [29] G. March, T. D. Nguyen, and B. Piro, "Modified electrodes used for electrochemical detection of metal ions in environmental analysis," *Biosensors*, vol. 5, no. 2, pp. 241–275, 2015.
- [30] D. P. Kepić *et al.*, "Preparation of PEDOT: PSS thin films doped with graphene and graphene quantum dots," *Synth. Met.*, vol. **198**, **pp**. **150–154**, **2014**.